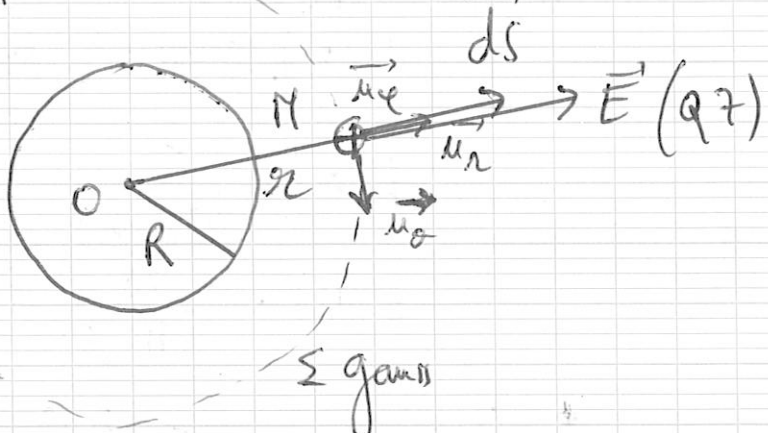


# Electrostatique et théorème de Gauss

119



$$\textcircled{2} \quad 6. \quad Q = \rho V = \frac{4}{3}\pi R^3 \rho$$

7. Plans de symétrie :

$$1 \quad \Pi_1 = (\vec{M}, \vec{\mu}_R, \vec{\mu}_0) \Rightarrow \vec{E} \in \Pi_1$$

$$1 \quad \Pi_2 = (\vec{M}, \vec{\mu}_R, \vec{\mu}_Q) \in \Pi_2$$

$\Rightarrow \vec{E}$  suivant  $\vec{\mu}_R$

1 Invariance en rotation suivant  $\theta$  et  $\psi$ ,

$$1 \quad \Rightarrow \vec{E} = E(r) \cdot \vec{\mu}_R$$

18. Surface de Gauss  $\Sigma$  : sphère de rayon  $r$ .

Théorème de Gauss :

$$1 \quad \oint_{\Sigma} \vec{E} \cdot d\vec{S} = \frac{Q_{int}}{\epsilon_0}$$

$$\textcircled{8} \quad \oint_{\Sigma} \vec{E} \cdot d\vec{S} = \oint_{\Sigma} E \cdot dS \quad \text{car } \vec{E} \parallel d\vec{S}$$

$$= \oint_{\Sigma} E(r) \cdot dS = E(r) \cdot \iint_{\Sigma} dS = E(r) \cdot S_{\Sigma}$$

$$2 \quad = E(r) \cdot 4\pi r^2$$

Disposition de cas :

$$1 \quad * \quad r > R \Rightarrow Q_{int} = Q$$

$$1 \quad * \quad r < R \Rightarrow Q_{int} = \frac{4}{3}\pi r^3 \rho = Q \left(\frac{r}{R}\right)^3$$

On en déduit :

\*  $r > R$

$$E(r) \cdot 4\pi r^2 = \frac{Q_{int}}{\epsilon_0} = \frac{Q}{\epsilon_0}$$

1

$$E(r) = \frac{Q}{4\pi\epsilon_0 r^2}$$

$$\vec{E}(r) = \frac{Q}{4\pi\epsilon_0 r^2} \vec{u}_r = \frac{\rho \frac{4}{3}\pi r^3}{4\pi\epsilon_0 r^2} \vec{u}_r = \frac{\rho r^3}{3\epsilon_0 r^2} \vec{u}_r$$

\*  $r < R$

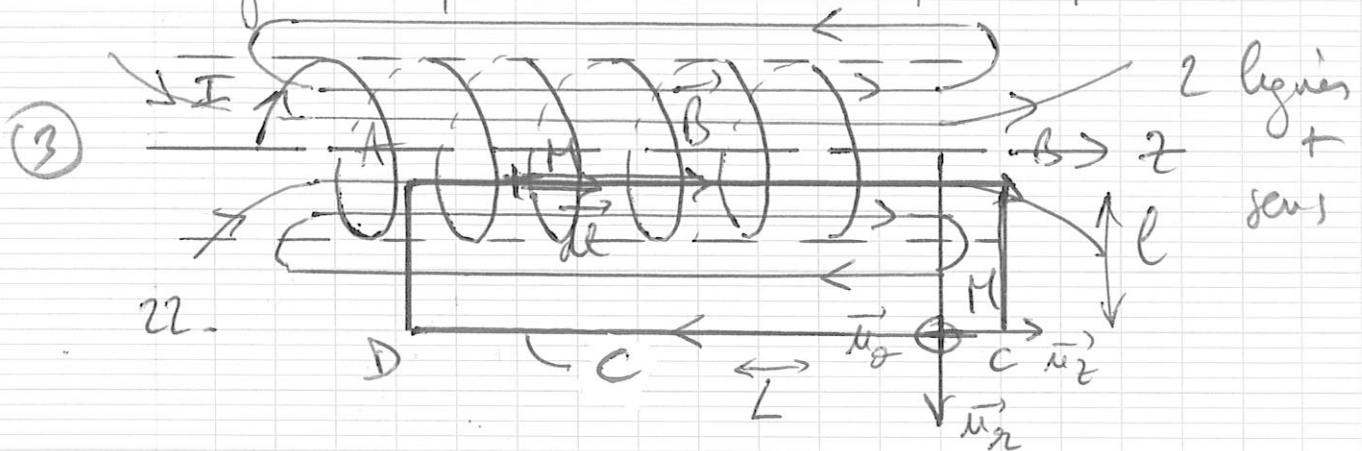
$$E(r) = \frac{Q \left(\frac{r}{R}\right)^3}{4\pi\epsilon_0 r^2} = \frac{Q r}{4\pi\epsilon_0 R^3}$$

1

$$\vec{E}(r) = \frac{Q r}{4\pi\epsilon_0 R^3} \vec{u}_r$$

$$= \frac{\rho \frac{4}{3}\pi r^3}{4\pi\epsilon_0 r^2} \vec{u}_r = \frac{\rho r}{3\epsilon_0} \vec{u}_r$$

# Magnétostatique et théorème d'Ampère /4



Plan de symétrie  $\Pi$ :  $(M, \vec{\mu}_0, \vec{\mu}_2)$

$$\Rightarrow \vec{B} \perp \Pi$$

$\Rightarrow \vec{B}$  suivant  $\vec{\mu}_2$ .

④

1 Invariances  
en translation suivant z  
en rotation suivant O -

$$\Rightarrow \vec{B} = B(z) \cdot \vec{\mu}_2 -$$

24. Contour d'Ampère C: Rectangle dans le plan  $\Pi$ , longueur L, largeur l. (ABCD)  
Théorème d'Ampère:

$$\oint \vec{B} \cdot d\ell = \mu_0 I_e -$$

$$\begin{aligned} \oint \vec{B} \cdot d\ell &= \int_A^B \vec{B} \cdot d\ell + \int_B^C \vec{B} \cdot d\ell + \int_C^D \vec{B} \cdot d\ell + \int_D^A \vec{B} \cdot d\ell \\ &= B \cdot L + 0 + 0 + 0 \\ &= BL. - \end{aligned}$$

⑤

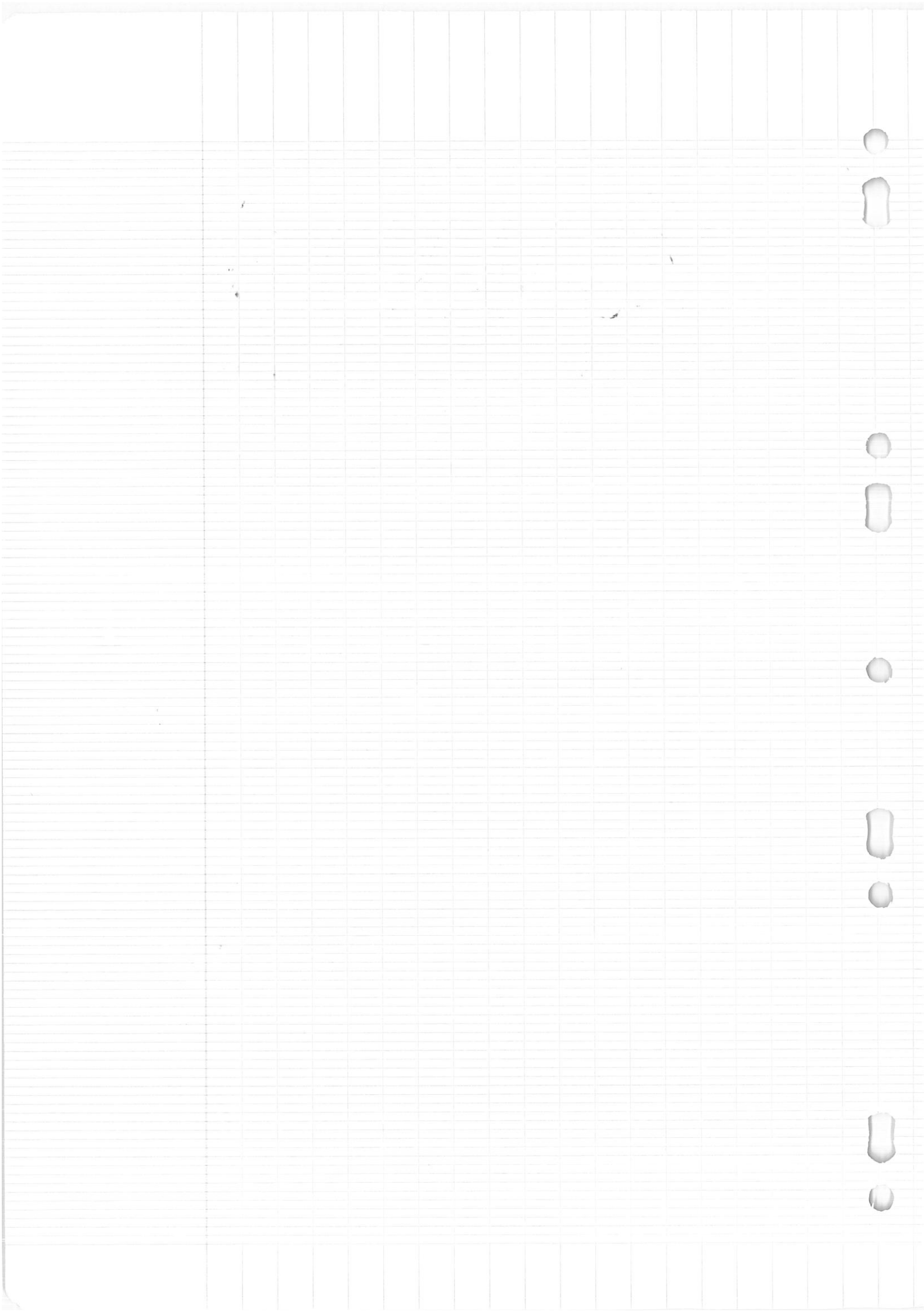
$$1. \quad \mu_0 I_e = NI -$$

D'où:

$$B \cdot L = \mu_0 N I$$

$$B = \mu_0 \frac{N}{L} I = \mu_0 n I -$$

$$B(M) = \mu_0 n I \vec{\mu}_2 -$$



## Isolation nucéaire

1/42

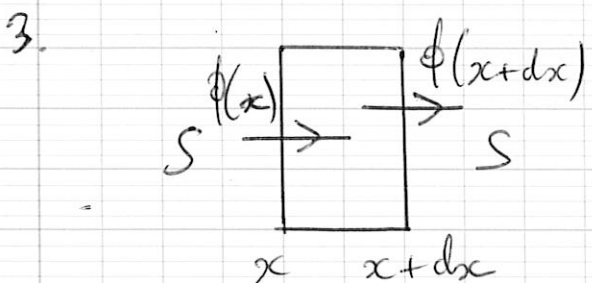
$$1.1. \quad \phi = \iint_S \vec{j}_{th} \cdot \vec{ds}$$

$\phi$  en W /  
 $j_{th}$  en W.m<sup>-2</sup> /  
 $ds$  en m<sup>2</sup> /

$$1.2. \quad \phi = j_{th} \cdot S \text{ in } -$$

$$2. \quad \vec{j}_{th} = -\lambda_b \cdot \nabla T$$

$$2. \quad \vec{j}_{th} = -\lambda_b \frac{dT}{dx} \hat{x} \text{ in }$$



4. Variation d'enthalpie de la branche de section  $S$ , entre les abscisses  $x$  et  $x + dx$ :

$$d^2Q = (\phi(x) - \phi(x+dx)) dt$$

Or:  $d^2Q = 0$  (régime statique)

D'où:

$$\underline{\phi(x) = \phi(x+dx)}$$

$$4. \quad \begin{aligned} & \phi(x+dx) - \phi(x) = 0 \\ & S \left( j_{th}(x+dx) - j_{th}(x) \right) = 0 \end{aligned}$$

$$S \cdot \frac{dj_{th}}{dx} dx = 0$$

$$5. \quad S \cdot \frac{d}{dx} \left( -\lambda_b \frac{dT}{dx} \right) dx = 0 \quad \text{D'où:}$$

2

$$\frac{d^2T}{dx^2} = 0 \quad \text{En intégrant 2 fois par rapport à } x:$$

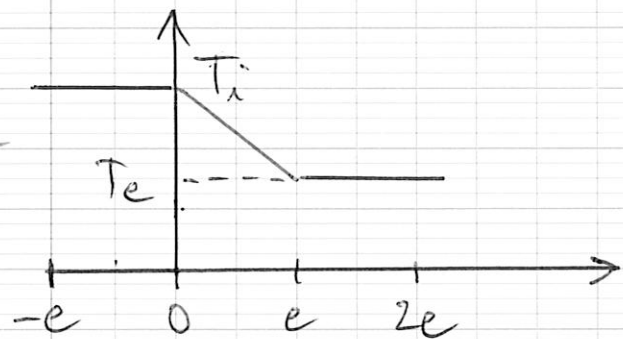
$$T(x) = ax + b.$$

CL1:  $T(0) = T_i = b$

CL2:  $T(L) = ae + b = T_e \Rightarrow a = \frac{T_e - T_i}{e}$

On obtient:

(8)  $T(x) = \frac{T_e - T_i}{e}x + T_i$



5-  $\phi(x) = \text{fth. } S = -\lambda_b \frac{dT}{dx} S$

$$= -\lambda_b \frac{\Delta T}{\Delta x} S$$

$$= -\lambda_b \frac{T_e - T_i}{e} S$$

$$= \lambda_b \frac{T_i - T_e}{e} S$$

(4)  $= \left(\frac{\lambda_b S}{e}\right)(T_i - T_e) =$

$R_{\text{th}} = \frac{e}{\lambda_b \cdot S}$

$\Rightarrow \frac{1}{R_{\text{th}}}$

2 A.N.:  $R_{th} = \frac{20 \cdot 10^{-3}}{100 \cdot 400 \cdot 500 \cdot 10^{-6}}$

$$R_{th} = \frac{2 \cdot 10^{-2}}{4 \times 5 \cdot 10^{-2}} = 0,10 \text{ K.W}^{-1}$$

② 6.  $R_{th} = \frac{e}{\lambda_b \cdot S} + \frac{e_{PSE}}{\lambda_{PSE} \cdot S} \rightarrow R_{PSE}$  (résistances en série)

7. Pour diviser les pertes par 2, il faut doubler la résistance thermique, ou il faut  $R_{th} = R_{PSE}$

④ 2

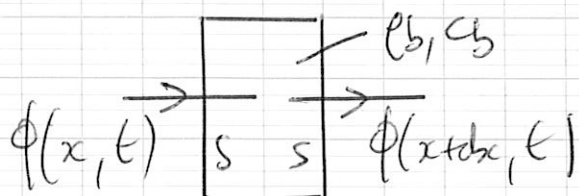
$$\frac{e}{\lambda_b \cdot S} = \frac{e_{PSE}}{\lambda_{PSE} \cdot S}$$

$$e_{PSE} = e \frac{\lambda_{PSE}}{\lambda_b}$$

1 A.N.:  $e_{PSE} = 20 \times \frac{0,036}{1} = 0,72 \text{ mm}$

1 Une très forte épaisseur est nécessaire.

8. Bilan enthalpique entre les abscisses  $x$  et  $x+dx$ , et entre les instants  $t$  et  $t+dt$ .



4

$$\begin{aligned} d^2Q &= (\phi(x, t) - \phi(x+dx, t)) dt \\ &= S (j_{th}(x, t) - j_{th}(x+dx, t)) dt \\ &= -S \cdot \frac{d j_{th}}{dx} dx dt \\ &= S \cdot \lambda_b \cdot \frac{d^2 T}{dx^2} \cdot dx \cdot dt \end{aligned}$$

$$\begin{aligned} d^2H &= dm \cdot c_b \cdot dT \\ &= \rho_b \cdot S \cdot dx \cdot c_b \cdot (T(x, t+dt) - T(x, t)) \\ &= \rho_b \cdot S \cdot dx \cdot c_b \cdot \frac{dT}{dt} \cdot dt \end{aligned}$$

$$\frac{d^2Q}{dt} = d^2H$$

d'où :

$$S \cdot \lambda_b \cdot \frac{d^2T}{dx^2} \cdot dx \cdot dt = \rho_b \cdot S \cdot dx \cdot c_b \cdot \frac{dT}{dt} \cdot dt$$

⑥

$$\lambda_b \cdot \frac{d^2T}{dx^2} = \rho_b \cdot c_b \cdot \frac{dT}{dt}$$

$$\left( \frac{\lambda_b}{\rho_b \cdot c_b} \right) \frac{d^2T}{dx^2} = \frac{dT}{dt}$$

D

$$2 \quad D = \frac{1}{800 \cdot 2 \cdot 10^3} \approx \frac{1}{16} \cdot 10^{-5} \approx \frac{6 \cdot 10^{-7}}{m^2 \cdot s^{-1}}$$

$$9. \quad \underline{\theta}(x, t) = \underline{\theta}_0 \exp\left(-\frac{x}{\delta}\right) \exp\left(j(\omega t - \frac{x}{\delta})\right)$$

②

$$= \underline{\theta}_0 \exp\left(-\frac{x}{\delta}\right) \exp(j\omega t) \exp\left(-j\frac{x}{\delta}\right)$$

$$= \underline{\theta}_0 \exp\left(-(1+j)\frac{x}{\delta}\right) \exp(j\omega t)$$

$$10. \quad \frac{\partial \underline{\theta}}{\partial t} = j\omega \underline{\theta}$$

④

$$\frac{\partial^2 \underline{\theta}}{\partial x^2} = \left(-\frac{(1+j)}{\delta}\right)^2 \underline{\theta} = \frac{2}{\delta^2} \underline{\theta}$$

$$\frac{\partial \underline{\theta}}{\partial t} = j\omega \underline{\theta} = D \cdot \frac{\partial^2 \underline{\theta}}{\partial x^2} = D \cdot \frac{2}{\delta^2} \underline{\theta} \quad m^2 \cdot s^{-1}$$

d'où :  $\omega = \frac{2D}{\delta^2}$  on  $\omega = \frac{2D}{\delta^2} = 0$

$$11. \quad \frac{\delta}{m} = \sqrt{\frac{2D}{\omega}} \rightarrow m^2 \cdot s^{-1}$$

rad.s<sup>-1</sup>

/34

## II Étude du capteur de niveau d'eau

### II.1 Étude du condensateur plan

- 23 - La distribution de charge est invariante en  $x$  et  $y$  donc  $\vec{E}(x, y, z)$

4 Les plans  $(M, \vec{e}_x, \vec{e}_z)$  et  $(M, \vec{e}_y, \vec{e}_z)$  sont plans de symétrie pour la distribution de charge donc  $\vec{E} = E_z \vec{e}_z$ .

- 24 - La distribution de charge est symétrique par rapport au plan  $(O, \vec{u}_x, \vec{u}_y)$  donc  $\vec{E}(z) = -\vec{E}(-z)$ .

- 25 - Raisonnement pour un point  $M(x, y, z)$  tel que  $z > 0$

Je choisis comme surface fermée le cylindre  $S_3$  de rayon  $r$  avec deux

2 disques bouchons  $S_1$  en  $z > 0$  et  $S_2$  en  $-z$ ;  $M(x, y, z) \in S_1$ .

$\Phi_3 = 0$  car le champ électrique selon  $\vec{u}_z$  ne traverse pas  $S_3$ .

2  $\Phi_1 = E_z(z)\pi r^2$  car la normale vers l'extérieur est selon  $\vec{e}_z$ .

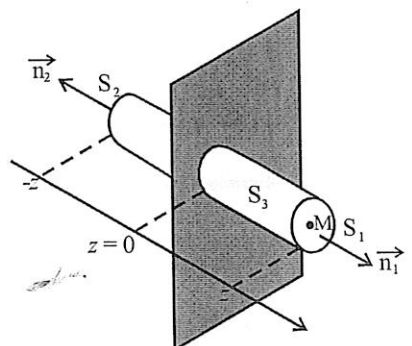
$\Phi_2 = -E_z(-z)\pi r^2$  car la normale vers l'extérieur est selon  $-\vec{e}_z$ .

8 Sachant que  $E_z(-z) = -E_z(z)$ ,  $\Phi = \oint \vec{E} \cdot \vec{n} dS = 2\pi r^2 E_z(z) + 0$

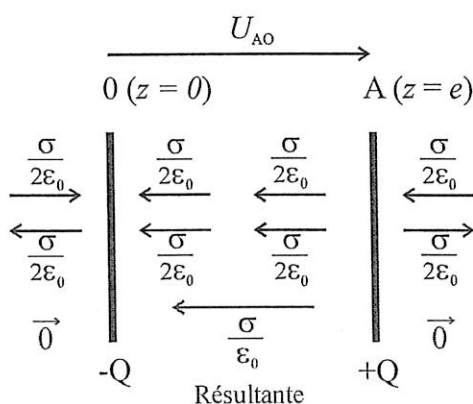
2 Le théorème de Gauss est  $\oint \vec{E} \cdot \vec{n} dS = \frac{Q_{int}}{\epsilon_0}$

1 Le théorème de Gauss s'écrit  $2\pi r^2 E_z(z) = \frac{Q_{int}}{\epsilon_0}$  or  $Q_{int} = \sigma \pi r^2 \Rightarrow E_z(z) = \frac{\sigma}{2\epsilon_0}$  pour  $z > 0$

1  $\vec{E}(z) = -\vec{E}(-z)$  donc  $E_z(z) = \frac{-\sigma}{2\epsilon_0}$  pour  $z < 0$ .



- 26 - Avec le théorème de superposition, on démontre que  $\vec{E}$  est non nul pour  $0 < z < e$  et vaut  $\frac{-\sigma}{\epsilon_0} \vec{e}_z$



- 27 -  $U_{AO} = \int_A^0 \vec{E} \cdot d\ell = \frac{\sigma}{\epsilon_0} e$  avec  $U_{AO} = \frac{Q}{C}$  et  $\sigma = \frac{Q}{S}$  donc  $C = \frac{S}{e} \epsilon_0$

2  $\textcircled{a} \quad \vec{E} = -\vec{\text{grad}} V = -\frac{dV}{dx} \vec{e}_x \quad | \text{ Justif } -$

4  $-\frac{d}{dx} = -\frac{dV}{dx} \Rightarrow V = +\frac{d}{\epsilon_0} + C \quad |$

$U = V(e) - V(0) = \frac{Q}{\epsilon_0} e = \frac{Q}{C} = \frac{S}{e} \epsilon_0 \Rightarrow C = \frac{S}{e} \epsilon_0$



## II.2 Application au capteur de niveau d'eau

- 28 - On peut voir ce condensateur comme l'association en parallèle (même tension) de deux condensateurs de surfaces  $S_1 = L(h-x)$  et  $S_2 = Lx$  et de même épaisseur  $e$  :  $C = C_1 + C_2$

$$C_1 = \frac{S_1 \epsilon_0}{e} \text{ et } C_2 = \frac{S_2 \epsilon_0 \epsilon_r}{e} \Rightarrow C = \frac{L(H-x)\epsilon_0}{e} + \frac{Lx\epsilon_0 \epsilon_r}{e} \Rightarrow$$

$$C = \frac{L(H-x)\epsilon_0}{e} + \frac{Lx\epsilon_0 \epsilon_r}{e} = \frac{L\epsilon_0}{e}(H + (\epsilon_r - 1)x)$$

Par identification avec  $C = ax + b$ ,  $a = \frac{L\epsilon_0(\epsilon_r - 1)}{e}$  et  $b = \frac{LH\epsilon_0}{e}$

29 -  $RC \frac{du}{dt} + u = RC \frac{de}{dt}$  s'écrit en notations complexes  $jRC\omega \underline{U}_0 + \underline{U}_0 = jRC\omega A \Rightarrow \underline{U}_0 = \frac{jRC\omega}{1+jRC\omega} A$

30 -  $\underline{U}_0 = |\underline{U}_0|$  donc  $\underline{U}_0 = \frac{RC\omega}{\sqrt{1+(RC\omega)^2}} A$

31 - En BF,  $\omega \ll \frac{1}{RC}$  on a  $\underline{U}_0_{BF} \sim RC\omega A$

32 - En BF,  $\underline{U}_0_{BF} \sim R\omega A \frac{L\epsilon_0}{e}(H + (\epsilon_r - 1)x)$ .

En réglant le montage (soit la fréquence, soit la résistance) pour être en BF, alors la tension mesurée aux bornes de la résistance est fonction affine de la hauteur d'eau.

$$\underline{U}_0_{BF} \sim \underline{U}_{vide} + (\underline{U}_{plein} - \underline{U}_{vide}) \frac{x}{H} \quad \underline{U}_{vide} = R\omega A \frac{LH\epsilon_0}{e} \quad \underline{U}_{plein} = R\omega A \frac{LH\epsilon_0 \epsilon_r}{e} = \epsilon_r \underline{U}_{vide}$$

## III.3 Traitement des données

```
33 - n = len(h)
      somme = 0
      for i in range(n):
          somme=somme+h[i]      # instruction 1
      moyenne=somme/len(h)    # instruction 2
      print(moyenne)          # affiche la moyenne
```

```
34 - n = len(h)
      somme = 0
      for i in range(n):
          somme=somme+(h[i]-moyenne)**2
      variance=somme/n
      print(variance)        # affiche la variance
```

35 -  $u(h) = \frac{\sqrt{V}}{\sqrt{n}}$



ATS 2019

AB

(2) 1)

$$n^* = N_A \times \frac{f}{M} \xrightarrow{\text{kg} \cdot \text{m}^{-3}}$$

$\downarrow$   
 $\text{mol}^{-1}$

$$\text{M} \rightarrow \text{kg} \cdot \text{mol}^{-1}$$

(2) 2)

$$n^* = 6 \cdot 10^{23} \times \frac{10^4}{6 \cdot 10^{-4}} = 10^{23} \times 10^4 \times 10^4 = 10^{29} \text{ m}^{-3}$$

13)

$$\frac{d}{dt}(E_m) = \frac{d}{dt}(E_c + E_p)$$
$$= \frac{d}{dt}\left(\frac{1}{2}mv^2 - eEx + E_{p_0}\right)$$

1

$$= mv\dot{v} - eE\dot{x} = mv\dot{v} - eEv$$

④

$$\frac{d}{dt}(E_m) = P_f^* = -\frac{m}{\Sigma}v^2$$

d'où :

$$mv\dot{v} - eEv = -\frac{m}{\Sigma}v^2$$

$$mv\dot{v} - eE = -\frac{m}{\Sigma}v^2$$

1

$$\frac{dv}{dt} + \frac{1}{\Sigma}v = \frac{eE}{m} = KE$$

1

$$K = \frac{e}{m}$$

4)

$$K = \frac{e}{m} \xrightarrow{\text{C}}$$

$\cancel{x}$

$$\cancel{x} \xrightarrow{\text{kg}}$$

C, kg<sup>-1</sup>

(ou)

$$[K] = \frac{\left[\frac{dv}{dt}\right]}{\left[E\right]} \xrightarrow{\text{m.s}^{-2}}$$

$\cancel{x}$

$$\cancel{x} \xrightarrow{\text{V.m}^{-1}}$$

Non demandé

$$\text{m}^2 \cdot \text{V}^{-1} \cdot \text{s}^{-2}$$

②

$\Sigma$  en s<sup>-1</sup>

constante de temps quantifiant le régime transitoire.

$$5) \frac{dv}{dt} + \frac{v}{\Sigma} = KE$$

$$\text{Sol: } v(t) = \lambda e^{-\frac{t}{\Sigma}} + \Sigma KE$$

$$\text{CI: } v(0) = 0 \Rightarrow \lambda = -\Sigma KE$$

⑥

d'où:

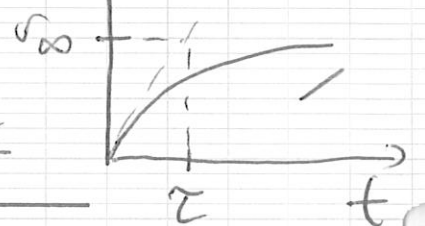
$$v(t) = \Sigma KE \left(1 - e^{-\frac{t}{\Sigma}}\right)$$

2

2

$$v_\infty = \lim_{t \rightarrow \infty} v(t)$$

$$= \Sigma KE' = \frac{eE\Sigma}{m}$$



6)

$$v_\infty = \frac{10^{-19} \times 10^{-1} \times 10^{-16}}{10^{-30}}$$

$$= \frac{10^{-34}}{10^{-30}} = \frac{10^{-4}}{10^{-30}} \text{ m.s}^{-1}$$

⑦

7)

$$\vec{j} = \sigma \vec{E}$$

C.m<sup>-3</sup>

1

$$\text{Or } \vec{j} = fl. \vec{v} -$$

A.m<sup>-2</sup>

$$\vec{j} = e n^* \vec{v}$$

④

$$\text{Régime établi: } \vec{j} = \vec{v}_\infty = \frac{eE\Sigma}{m}$$

$$\vec{j} = e n^* \frac{eE\Sigma}{m}$$

4

$$= \frac{n^* e^2 \Sigma}{m} \vec{E}' -$$

$\underbrace{\qquad}_{\delta}$

2

$$1 \quad \gamma = \frac{m^* e^2 \epsilon}{m}$$

$$1 \quad A.N. : \frac{10^{29} \times 10^{-38} \times 10^{-14}}{10^{-30}} = \frac{10^{-23}}{10^{-30}} = 10^7 \Omega^{-1} \cdot m^{-1}$$

coherent.

$$8) \quad \vec{E} = -\vec{\text{grad}} V = E \vec{u}_x$$

Suivant  $x$ :

$$\vec{E} = -\frac{\partial V}{\partial x} \vec{u}_x = -\frac{dV}{dx} \vec{u}_x$$

d'où :

$$\frac{dV}{dx} = -E$$

$$V(x) = -Ex + V(0)$$

$$V(0) - V(x) = Ex$$

$$V(0) - V(l) = El = U$$

$$E = \frac{U}{l} \quad \text{ou} \quad U = El$$

$$① 9) \quad I = j \cdot S$$

$$10) \quad j = \gamma E = \frac{\gamma}{l} U$$

$$I = jS = \frac{\gamma S}{l} U$$

$$② \quad \text{d'où : } U = \underbrace{\frac{l}{\gamma S} I}_{R}$$

$$R = \frac{l}{\gamma S}$$

② 11) Résistance / Impédance variable entre 3 (out)  
et 2 (GND).

12) Continuité du courant :

$$i(t) = \iint_S \vec{J} \cdot d\vec{S}$$

$$= \iint_S \vec{J}(r, t) \vec{n}_r \cdot d\vec{S}$$

$d\vec{S}$  suivant  $\vec{n}_r$  sur  $\frac{1}{2}$  sphère de rayon  $r$ .

④

$$i(t) = j 2\pi r^2 = \sigma E 2\pi r^2$$

$$\text{donc : } E = \frac{i(t)}{2\pi\sigma r^2} -$$

De plus :  $\vec{J}(r, t)$  radiale  
donc :  $E$  radial

$$\vec{E} = \frac{i(t)}{2\pi\sigma r^2} \vec{n}_r$$

13)  $\vec{E} = -\nabla V -$

$$\frac{i(t)}{2\pi\sigma r^2} \vec{n}_r = -\frac{\partial V}{\partial r} \vec{n}_r$$

$$\frac{\partial V}{\partial r} = -\frac{i(t)}{2\pi\sigma r^2}$$

④ 1  $V(r) = \frac{i(t)}{2\pi\sigma r} + \text{cte} -$

$$V(d - \frac{f}{2}) = \frac{i(t)}{2\pi(d - \frac{f}{2})\sigma} + \text{cte} \quad (1) -$$

$$V(d + \frac{f}{2}) = \frac{i(t)}{2\pi(d + \frac{f}{2})\sigma} + \text{cte} \quad (2) -$$

$$U_p = V(d + \frac{f}{2}) - V(d - \frac{f}{2}) -$$

$$= \frac{i(t)}{2\pi\sigma} \left[ \frac{1}{(d - \frac{f}{2})} - \frac{1}{(d + \frac{f}{2})} \right] =$$

$$U_p = \frac{i(t)}{2\pi\delta} \left[ \frac{d + \frac{f}{2} - d + \frac{f}{2}}{(d - \frac{f}{2})(d + \frac{f}{2})} \right]$$

$$1) U_p = \frac{i(t)}{2\pi\delta} \frac{P}{(d^2 - \frac{P^2}{4})} \quad R = \frac{P}{2\pi\delta(d^2 - \frac{P^2}{4})}$$

14) For  $t = \lim_{k \rightarrow \infty} t_k$   
 $L(k+1) = R \cdot i(t)$

(2)

15)  $U_{p \max} = 1270 \text{ V (graphiquement)}$

$$Z_{\text{humain}} \approx 1500 \Omega \text{ (tableau)}$$

$$\Rightarrow I_{\max} = \frac{U_{p \max}}{Z_{\text{humain}}} \approx 1 \text{ A}$$

En conclusion avec ces données la ...

$U_p \geq 800 \text{ V pendant } 0,045 \text{ s. (graphiquement)}$

Tableau:

$$U_c = 800 \text{ V} \Rightarrow \Delta t < 0,045 \text{ s}$$

Concl: DANGER

$$16) D_V = \frac{V}{t} = \frac{180 \cdot 10^{-3}}{30 \times 60} = \frac{180 \cdot 10^{-3}}{1800} = 10^{-4} \text{ m}^3 \cdot \text{s}^{-1}$$

$$17) D_V = v_B \cdot S_B \quad \text{car} \quad \left| \begin{array}{l} \text{eau incompressible} \\ \text{regime permanent suppose} \end{array} \right.$$

d'où :

$$v_B = \frac{D_V}{\pi a^2}$$

$$\text{AN: } v_B = \frac{10^{-4}}{\pi \times (20 \cdot 10^{-3})^2} = \frac{10^{-4}}{4\pi \cdot 10^{-4}} = 0,08 \text{ m.s}^{-1}$$

18) Bernoulli le long d'une ligne de courant : entre A et B.

$$p_A + \rho g z_A + \frac{1}{2} \cancel{\rho v_A^2} = p_B + \rho g z_B + \frac{1}{2} \cancel{\rho v_B^2}$$

$p_0$                               neglige'

$$p_0 + \rho g (z_A - z_B) = p_B + \frac{1}{2} \rho v_B^2$$

$$\text{d'où: } p_B = p_0 + \rho g (z_A - z_B) - \frac{1}{2} \rho v_B^2$$

$$p_B = \rho g H - \frac{1}{2} \rho v_B^2 + p_0$$

$$19) \frac{1}{2} \rho v_B^2 = \rho g H - p_B + p_0$$

$$\frac{1}{2} v_B^2 = gH - \frac{p_B}{\rho} + \frac{p_0}{\rho}$$

$$v_B^2 = 2gH - 2 \frac{p_B}{\rho} + 2 \frac{p_0}{\rho}$$

$$v_B^2 \leq 2gH$$